

Figure II-16: Carte des anomalies magnétiques du bassin Liguro-Provençal (Olivet et al, 2004). Les zones I à VI sont décrites dans le texte.

Figure II-17: Carte de la profondeur du substratum (en secondes temps double) dans le Golfe du Lion (cette étude) et sur la marge Sarde (Thomas, 1986). Les zones I à VI sont décrites dans le texte.

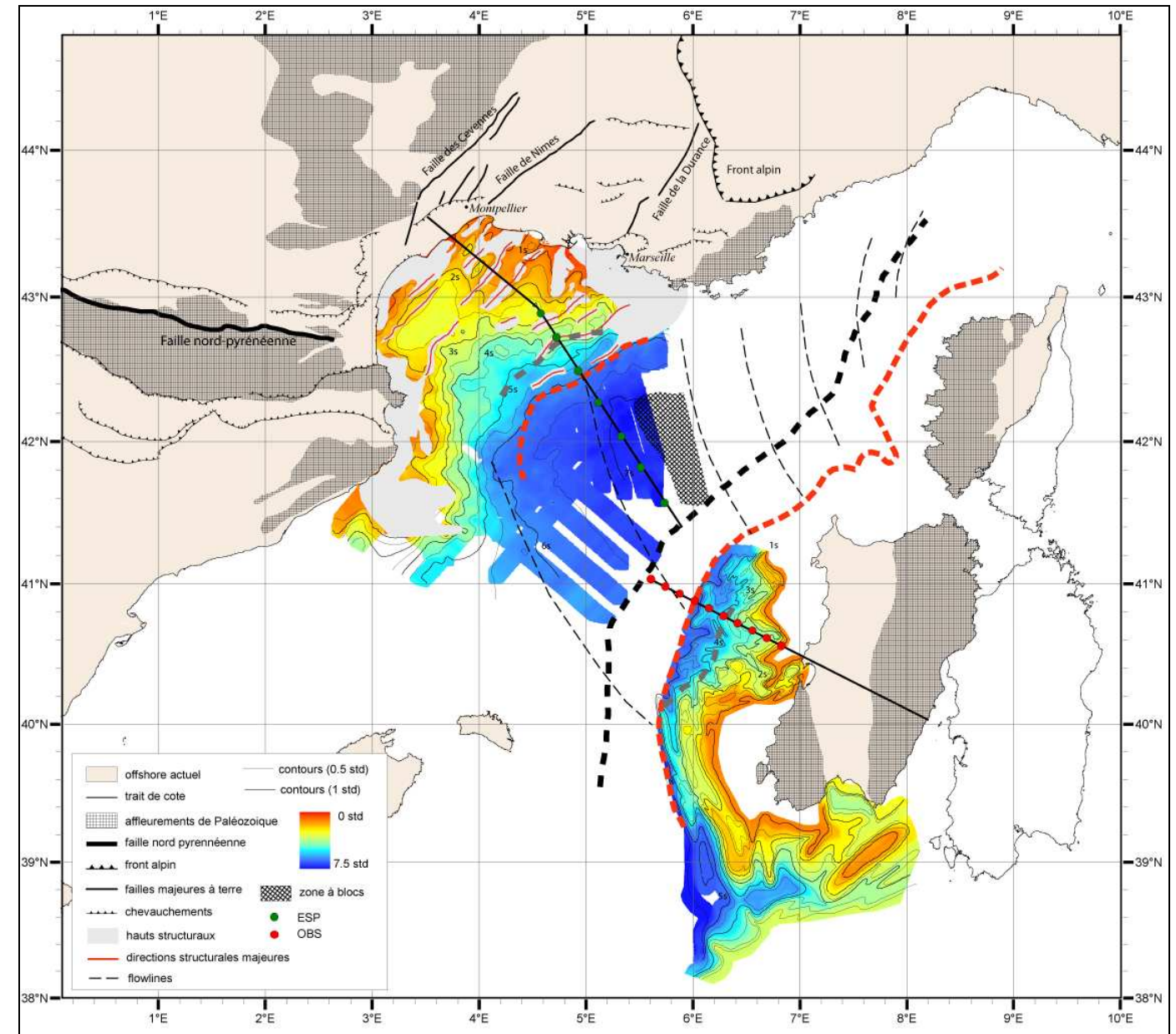
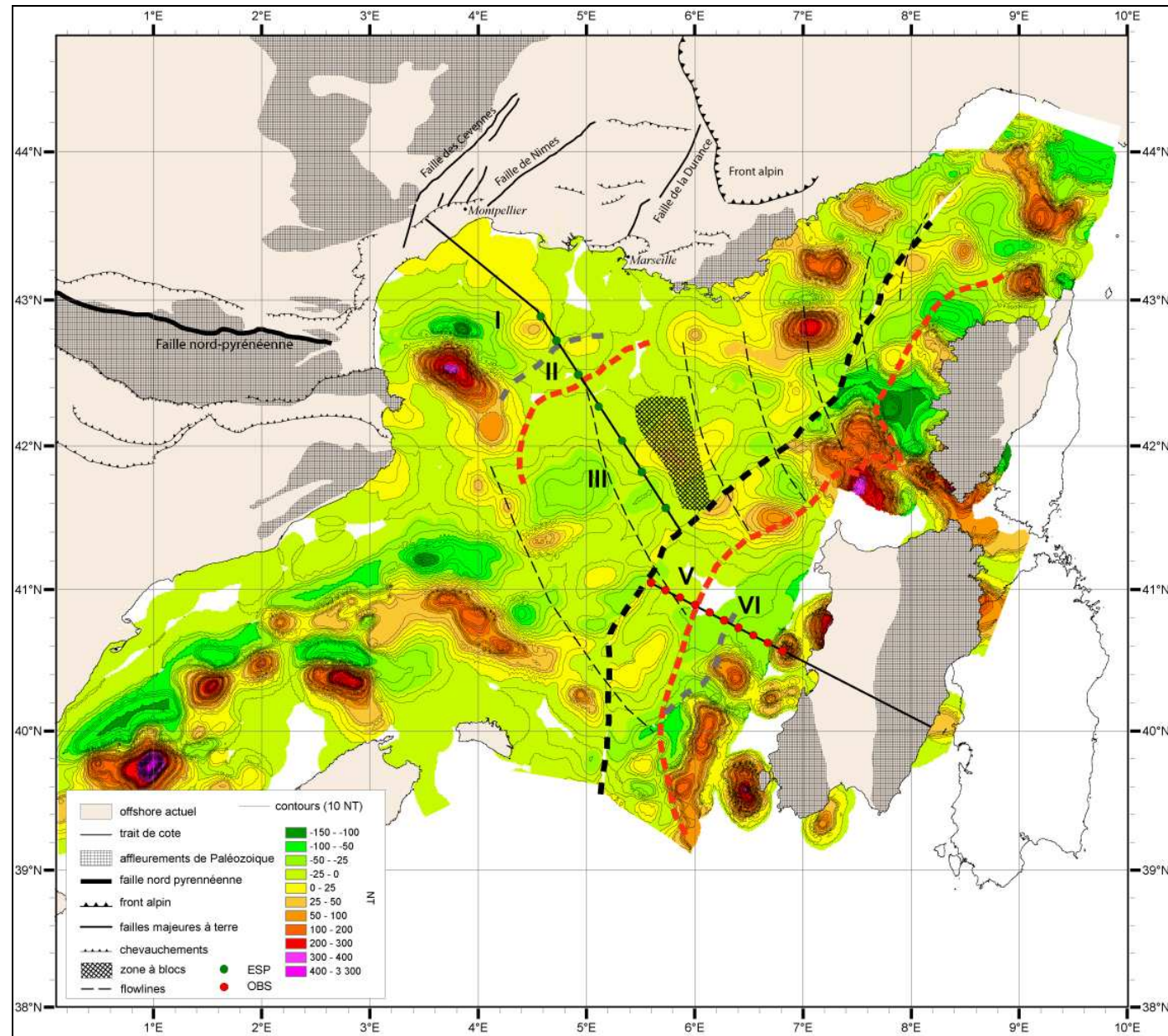


Figure II-19: Reconstruction intermédiaire par fermeture du domaine à fortes anomalies magnétiques (domaine IV) du bloc Corso-Sarde par rapport à l'Europe fixe. Les anomalies magnétiques des domaines V et VI ont été rotées avec le bloc Corso-Sarde ainsi que le profil Sard04 et ses OBS. Position du bloc Corso Sarde d'après Gueguen (1995).

Figure II-20: Reconstruction intermédiaire par fermeture du domaine à fortes anomalies magnétiques (domaine IV) du bloc Corso-Sarde par rapport à l'Europe fixe. Le substratum Sarde (Thomas, 1986) a été roté avec le bloc Corso-Sarde ainsi que le profil Sard04 et ses OBS. Position du bloc Corso Sarde d'après Gueguen (1995).

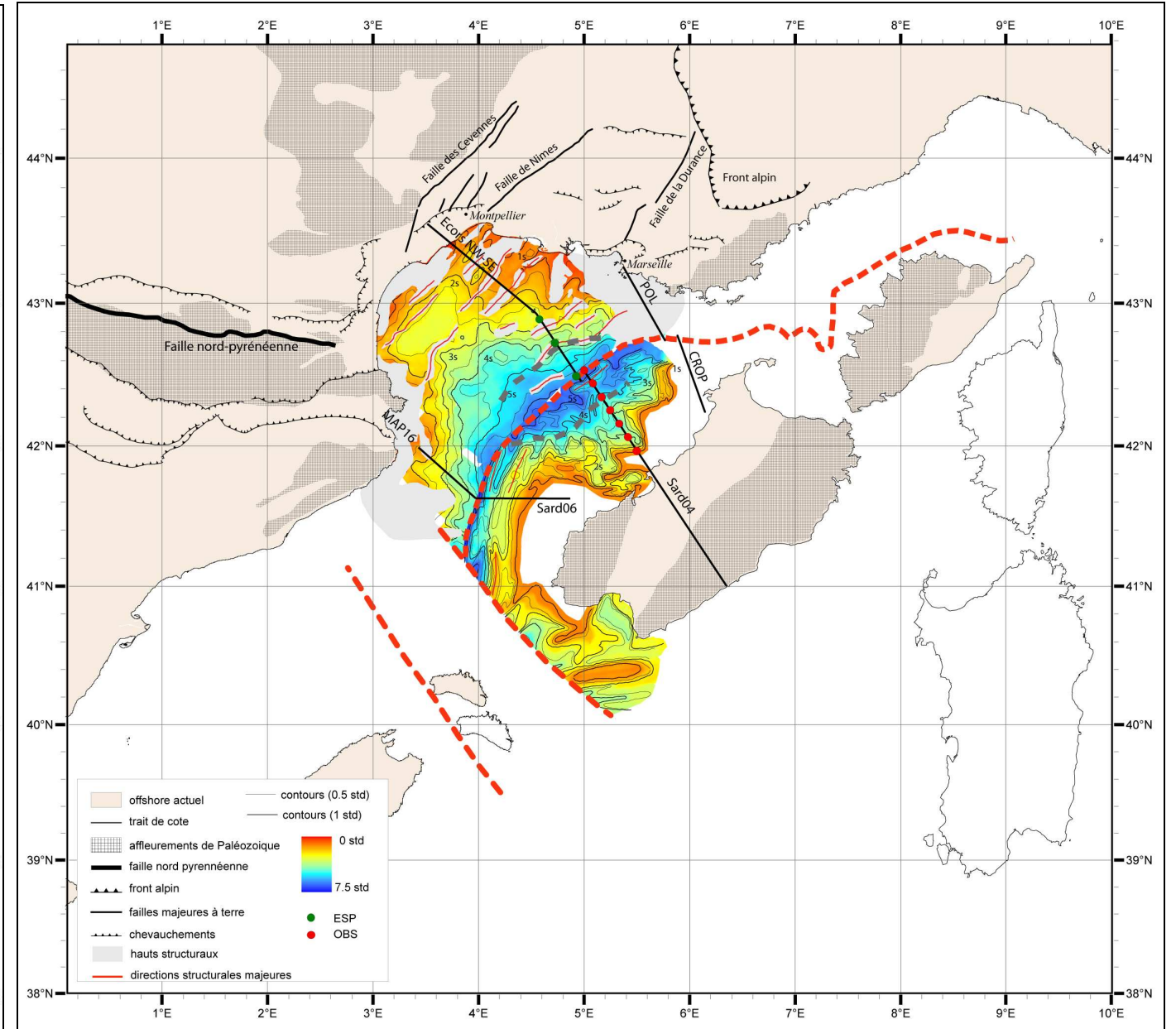
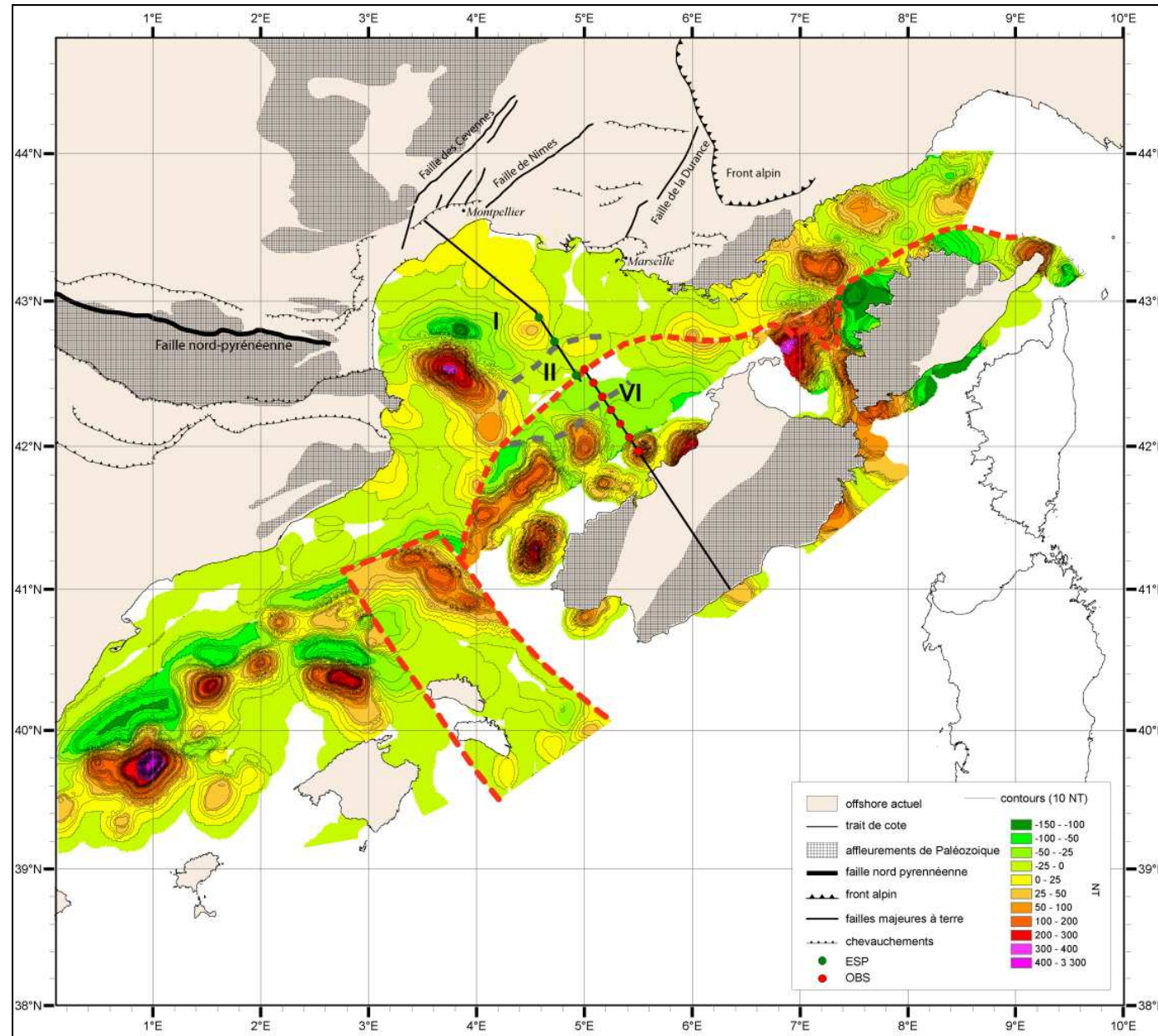


Figure II-21 : Fermeture maximale du bassin Liguro-Provençal par la remise bord à bord des pieds de marge. Position du bloc Corso Sarde juste après l'extension oligocène. La grille des anomalies magnétiques du côté sarde a été rotée avec le bloc Corso-Sarde ainsi que le profil Sard04 et ses OBS. Reconstruction effectuée en collaboration avec Daniel Aslanian (Ifremer) d'après Olivet (1996).

Figure II-22 : Fermeture maximale du bassin Liguro-Provençal. Position du bloc Corso Sarde juste après l'extension oligocène. La grille du substratum sarde (Thomas, 1986) a été rotée avec le bloc Corso-Sarde. Les coupes représentent des coupes homologues représentées sur la figure II-23. Reconstruction effectuée en collaboration avec Daniel Aslanian (Ifremer) d'après Olivet (1996)

Figure V-1 : carte structurale du Golfe du Lion. Carte de la profondeur (en secondes temps double) du toit du substratum. (Structure : VM :bassin de Vistrenque Maritime ; C :bassin de Camargue ; GR :horst du Grau du Roi ; PC :bassin de Petite Camargue ; S :structure haute de Sirocco ; M :structure haute de Mistral ; B :structure haute de beauduc ; FM :fossé du Grand Faraman ; A :structure haute Autan ; Ra :structure haute Rascasse ; GLP2 :structure haute GLP2 ; GC :Graben Central. Forages : Ci :Cicindelle ; Am :Agde Maritime ; Ca : Calmar ; Tr :Tramontane, les autres forages portent le nom de la structure sur laquelle ils se trouvent)

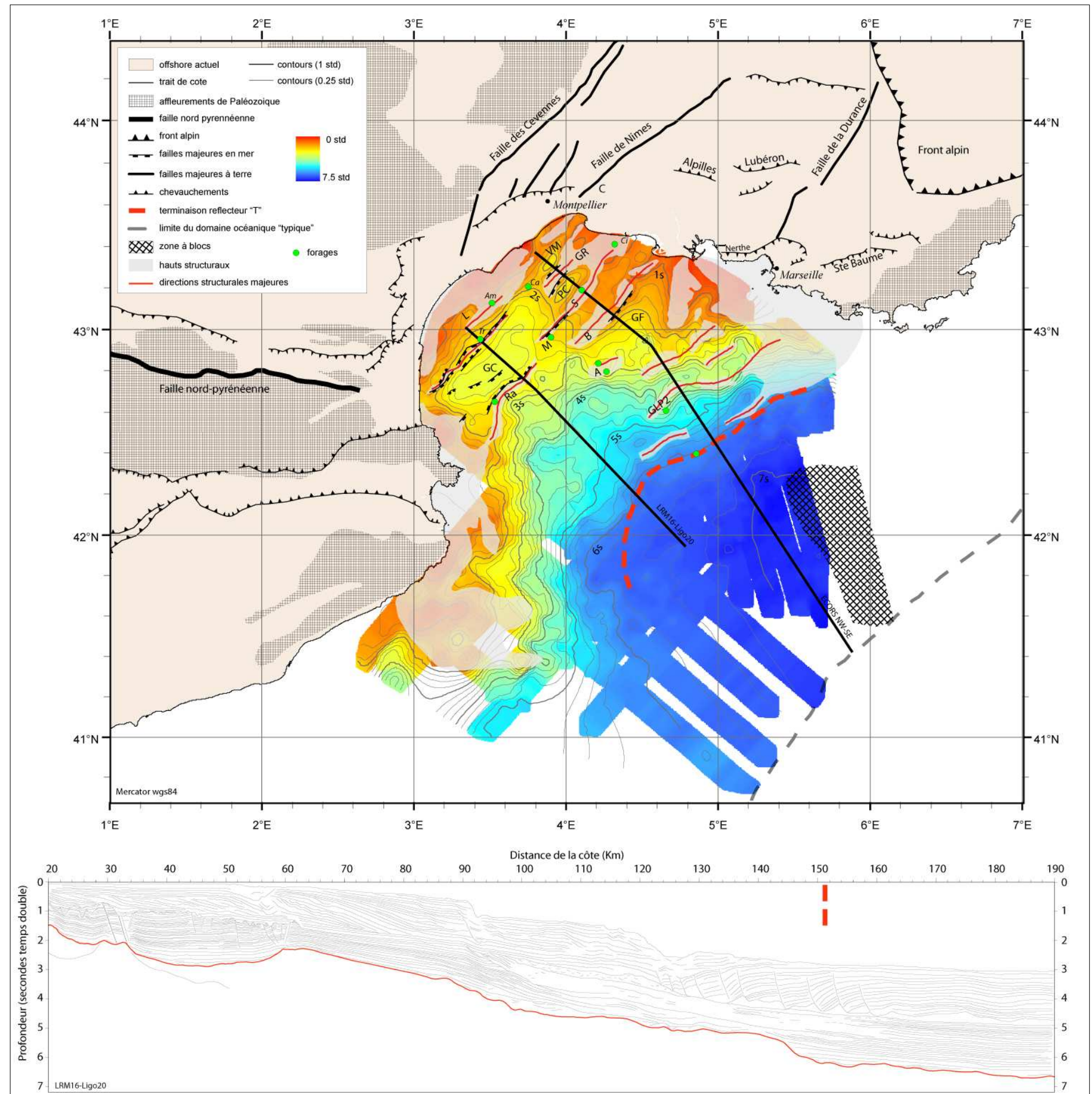
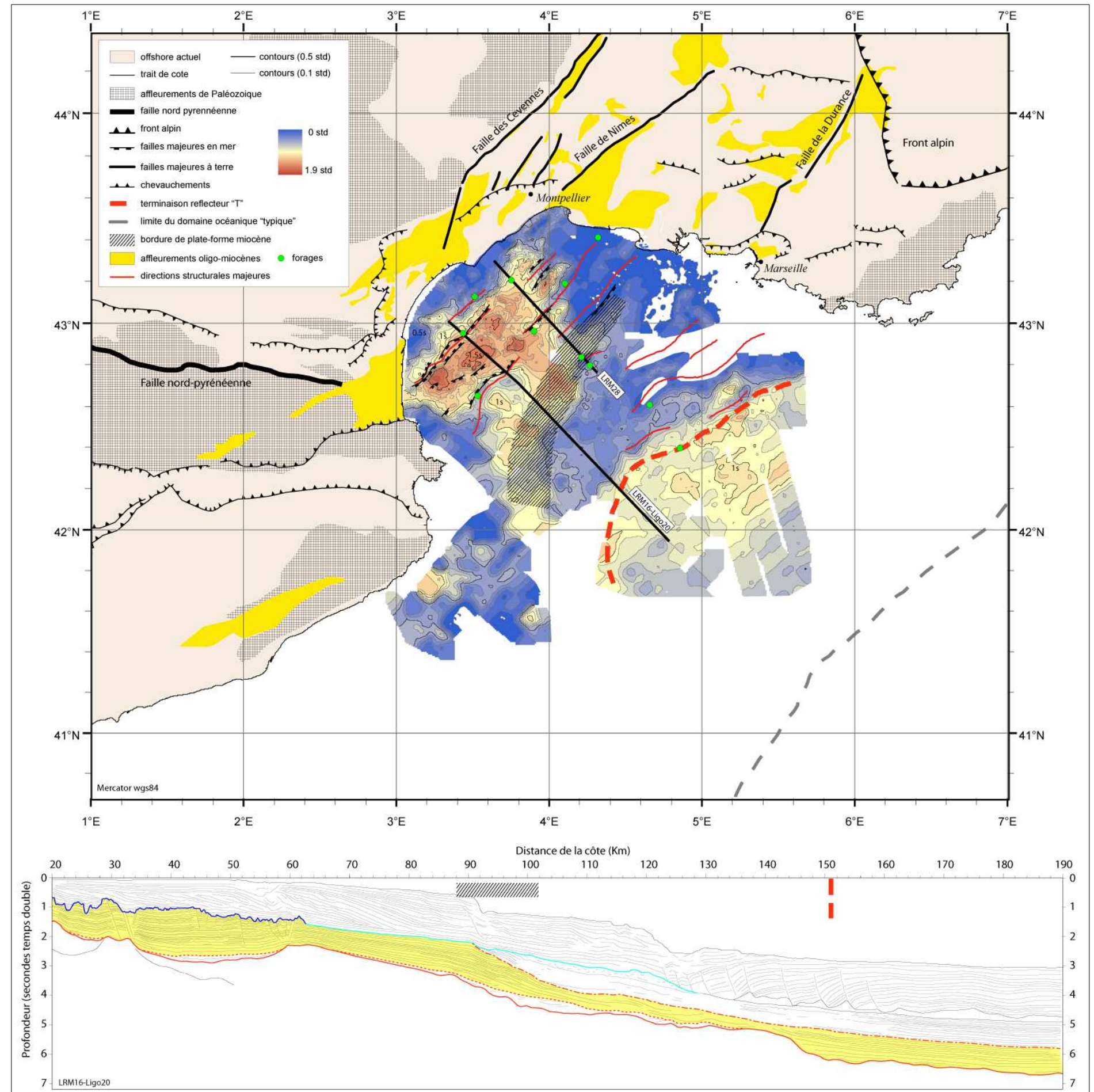


Figure V-24: carte en épaisseur temps double du miocène post-rift et anté-messinien. La zone hachurée représente la zone de progradation de la plate-forme miocène. La diminution d'épaisseur en aval de cette zone hachurée est le résultat de l'érosion sus-jacente (base de l'unité M) liée à l'événement messinien.



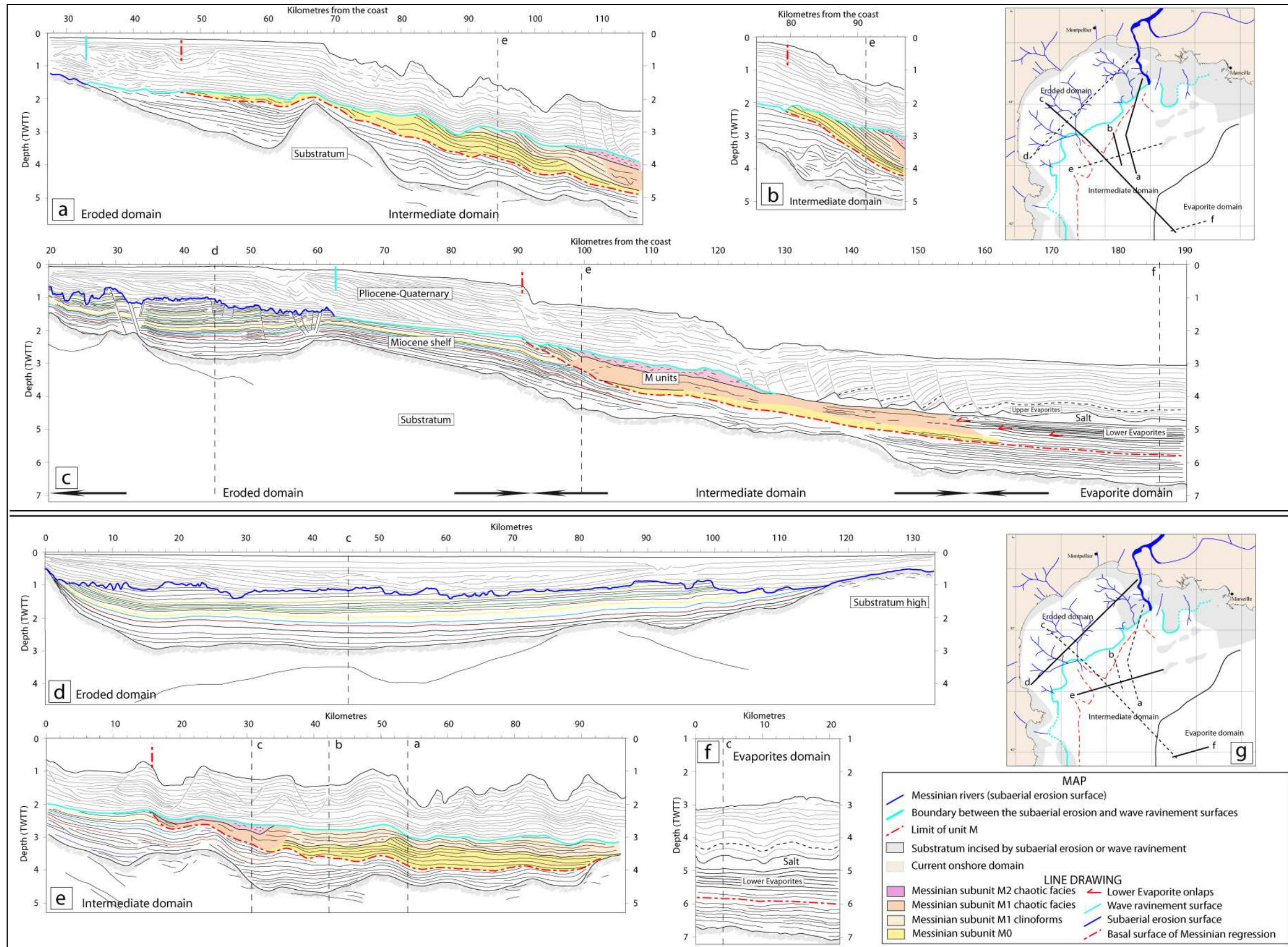


Figure VI-1 : Lines drawing situés dans le Golfe du Lion. Trois domaines différents sont mis en évidence : le domaine érodé, le domaine intermédiaire et le domaine à évaporites (domaine profond). La surface d'érosion bleu foncé (surface « rugueuse ») correspond à une surface d'érosion aérienne et la surface d'érosion bleu ciel (surface « lisse ») est interprétée comme une surface de ravinement transgressive. Position des profils sur la figure VI-2.

Figure VII-2: Carte de la profondeur (en secondes temps double) de la base de l'unité M. Cette base est érosive au débouché des fleuves messiniens (surface M) et devient conforme dans le bassin. En amont de cette surface, la plate-forme miocène est érodée par la surface « rugueuse » ou par la surface « lisse ». Cette carte représente la base de l'événement Messinien.

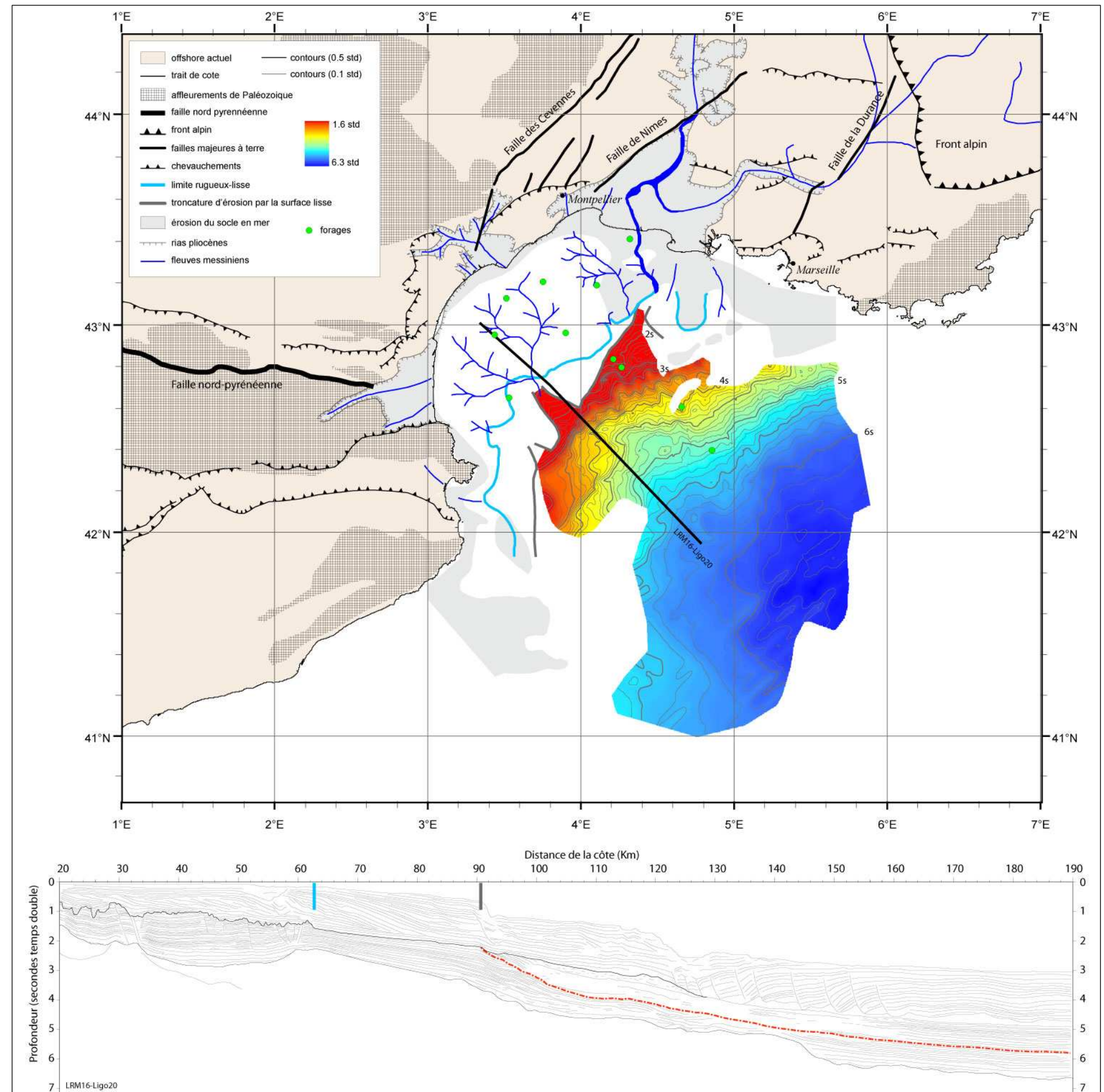
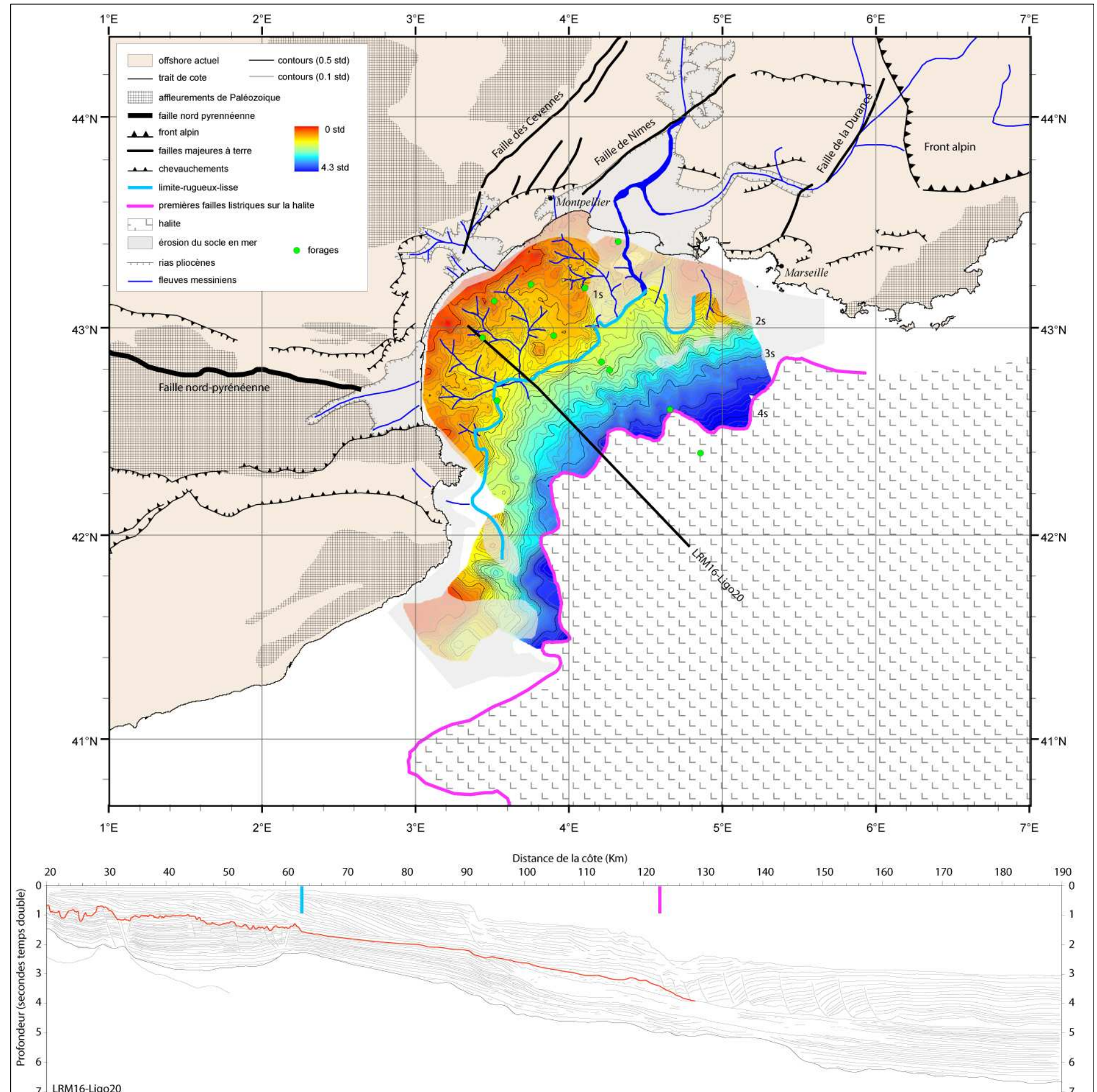


Figure VII-5: Carte de la profondeur (en secondes temps double) des surfaces « rugueuse » et « lisse ». La limite entre ces deux surfaces est représentée en bleu turquoise. En aval de celle-ci, la cartographie de la surface « lisse » est perturbée par l'effet des canyons actuels (les contours pour cette zone devraient être lissés). La limite du sel transparent est représentée dans le bassin. Cette carte représente donc la paléogéographie juste avant le ré ennoisement rapide du bassin. La limite entre la surface messinienne fluviatile (rugueuse) et la surface d'abrasion marine (surface lisse) représente la ligne de rivage.



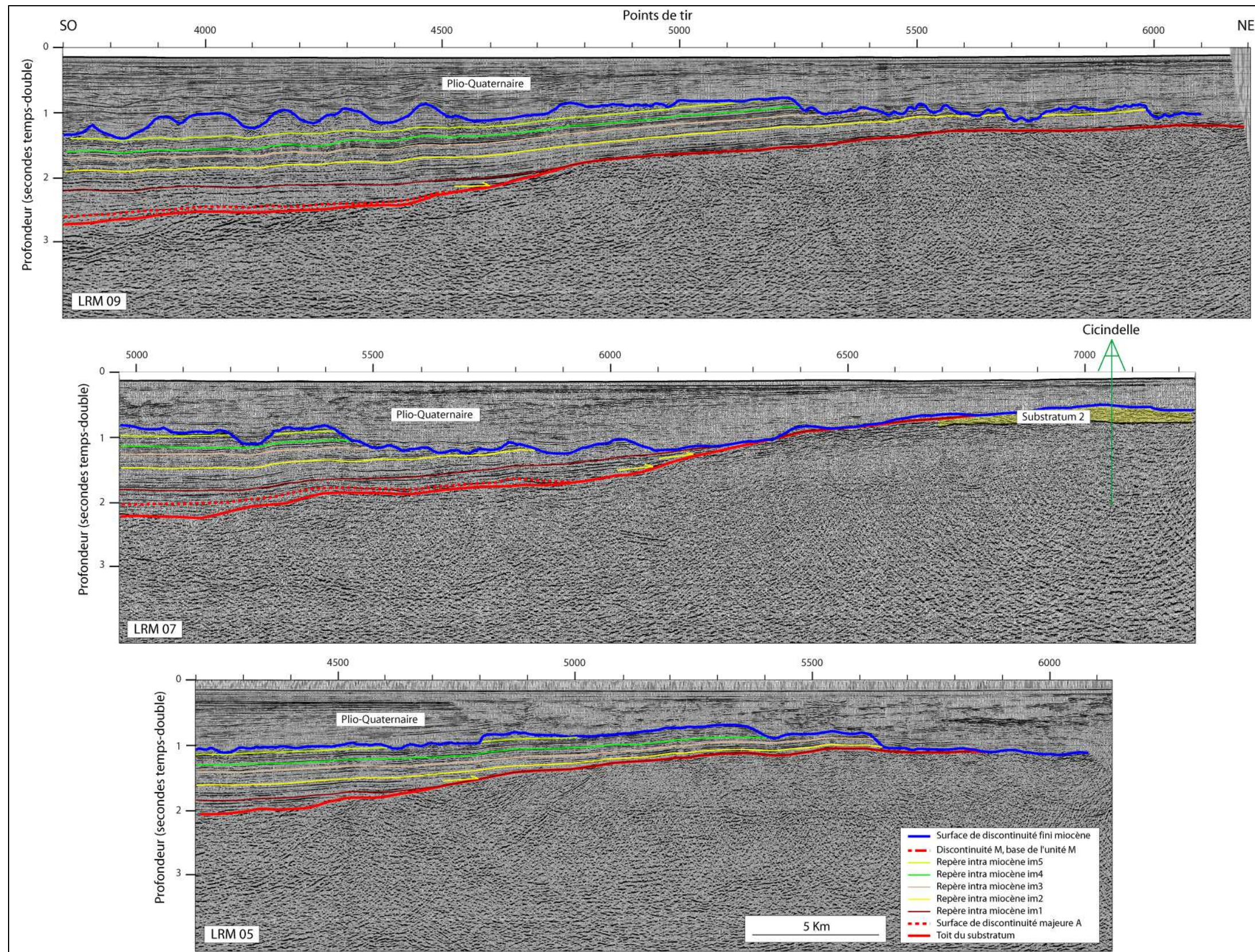


Figure VIII-7: Profils sismiques SW-NE montrant la transition entre le Graben Central et la zone camarguaise. Le socle en relief, du côté Camargue est aplani dans le prolongement d'un réflecteur (im1) daté de la transition Aquitanien-Burdigalien. Position sur la figure VIII-2.

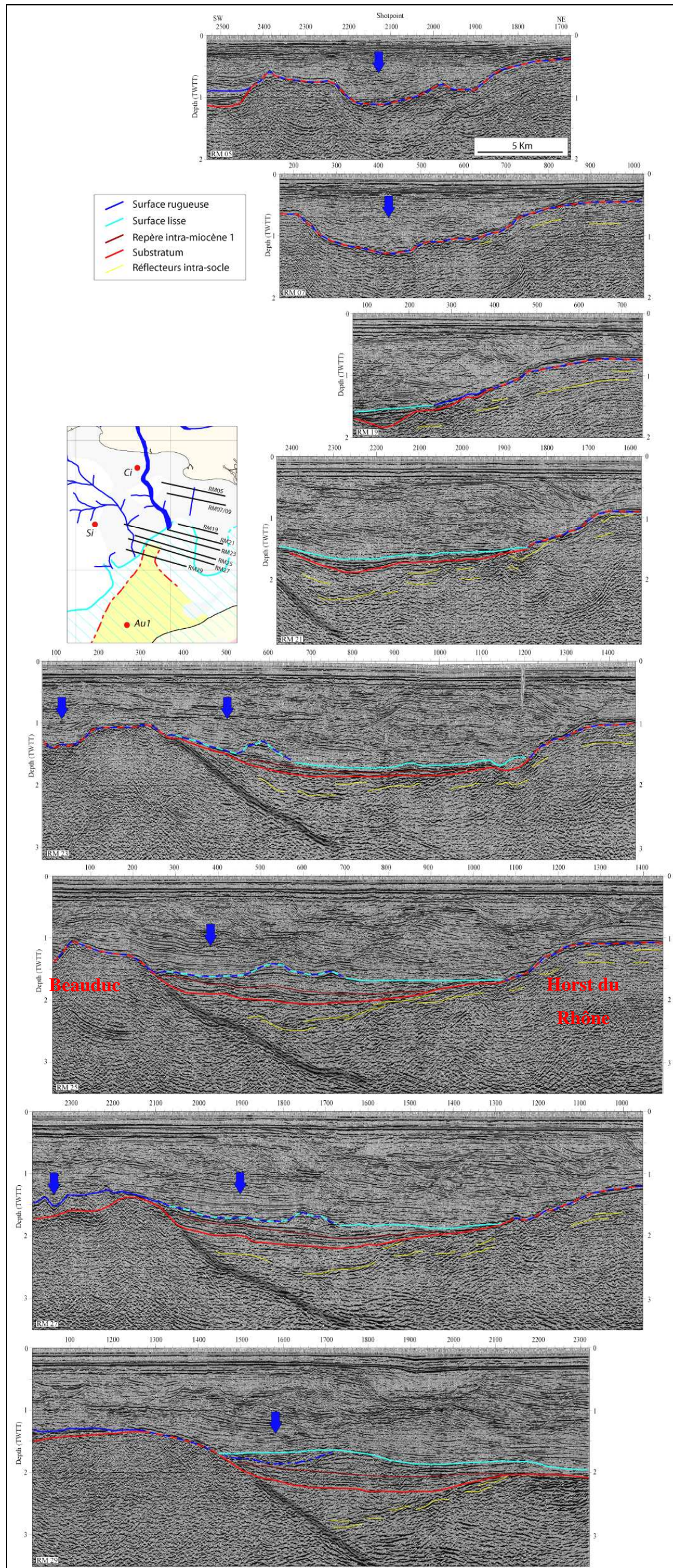


Figure VIII-12: Profils sismiques situés le long du Grand Faraman. Une entaille importante est visible dans la partie amont de cette dépression. Cette entaille est remplie de sédiments pliocènes, l'âge de l'incision est donc difficilement identifiable. En aval, des sédiments miocènes se sont déposés dans la dépression. L'érosion messinienne les incise mais l'entaille observée en amont semble passer sous ceux-ci.